

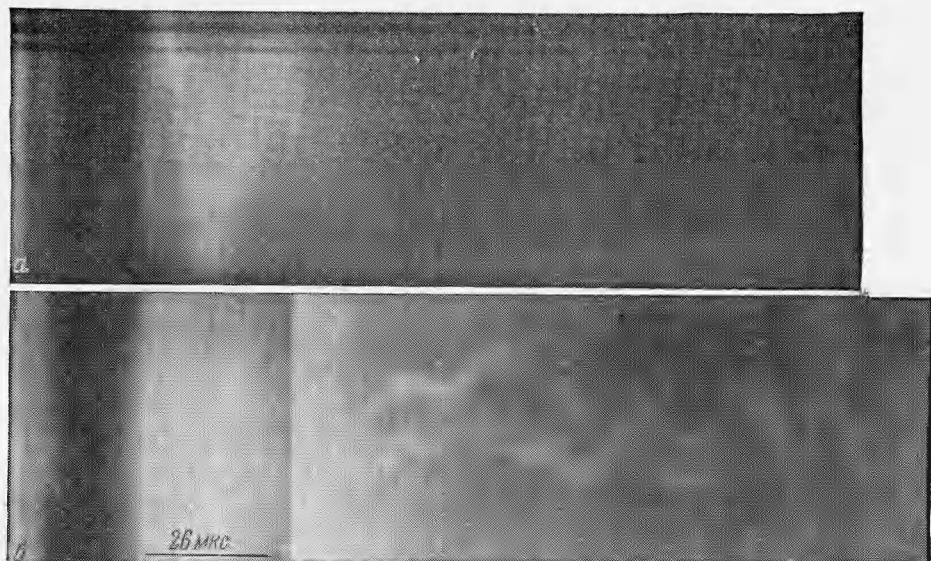
## НЕУСТОЙЧИВОСТЬ РЕЛЕЯ—ТЕЙЛОРА В КОНИЧЕСКОМ УСКОРИТЕЛЕ ПЛАЗМЫ

Р. Х. Куртмуллаев, Ю. Е. Нестерихин, А. Г. Пономаренко

(Новосибирск)

В последнее время появилось несколько работ [1, 2], в которых сделана попытка установить возможные ограничения таких параметров плазменных сгустков, как их скорость, плотность и температура, а также уточнить соотношение между направленным движением и количеством ускоряемого вещества.

Теоретически найдено [3], что при создании сгустков плазмы как в коаксиальных, так и в конических системах должна возникать неустойчивость Релея—Тейлора. Та-



Фиг. 1 а, б

ким образом, сам способ создания плазмы содержит в себе причину возможных неустойчивостей, вследствие чего и могут появиться ограничения в таких параметрах ее, как направляемая скорость, время существования и т. д.

Ниже сообщается о предварительных экспериментах по обнаружению гидромагнитных неустойчивостей в конических ускорителях плазмы.

Устройство источника плазмы аналогично описанному в работе [4]. Вместо напуска газа применялся поверхностный пробой по изолятору из органического стекла с последующим выбрасыванием плазмы в стеклянную трубу длиной 250 см. В опытах использовались два типа конических источников, отличающихся геометрическими размерами (большое основание их диаметр 40 и 100 мм, а угол раствора  $\sim 25^\circ$ ), на которые разряжались два соединенных в параллель конденсатора КБГ-П (суммарная емкость 32 мкФ, а индуктивность  $L \sim 10$  см, максимальное напряжение  $U_c = 10$  кв, индуктивность самого источника  $L_1 = 23$  см,  $L_2 = 37$  см). Ток разряда достигал величины  $\sim 300$  ка и затухал практически в течение одного периода ( $T_1 = 6.3$  мксек,  $T_2 = 7.5$  мксек).

На фиг. 1 представлены две СФР-граммы сгустка, полученные на расстоянии 42 см от основания конуса (а) — снимок произведен через щель, ориентированную перпендикулярно движению сгустка, и захватывает весь диаметр стеклянной трубы  $\sim 10$  см, (б) — ориентация щели та же, но захватывается только середина трубы  $\sim 3$  см, при этом  $U_c = 10$  кв. На фотографии видна структура сгустка: впереди движутся два четких яркосветящихся слоя (на малом источнике — один), за ними — основная часть сгустка, изрезанная плазменными струями, напоминающими двухзаходную спираль.

Измерения при помощи пояса Роговского и магнитных зондов с дополнительной обмоткой для защиты от полей самого источника показали существование токов как ф'-компоненты, так и z-компоненты в передней части сгустка, длительность которых была порядка периода разряда. При дальнейшем продвижении плазмы вдоль трубы длительность области, в которой существует собственный ток, увеличивается, она рас-

плывется, и плотность плазмы в ней катастрофически падает. Спиралевидные светящиеся нити, расширяясь вдоль направления движения (увеличивается шаг спиралей), сохраняют свой характерный вид вплоть до исчезновения плазмы в вакуумном объеме насоса. После нескольких экспериментов становится заметными следы движения сгустка вдоль стеклянной трубы, на стенках которой отчетливо виден шаг спиралей в результате осаждения тяжелых примесей плазмы: меди из корпуса источника, вольфрама от поджигающего электрода и углерода из оргстекла.

На фиг. 2 приведены осциллограммы «запирания» сигнала с  $\lambda = 8 \text{ м.м}$  (a), а также отраженный (б) и интерференционный (c) сигналы (падающая волна складывается с отраженной); (e) — калибровочная синусоида 100 кец), подтверждающие оптическую структуру сгустка. Можно заметить хорошую корреляцию с СФР-граммой фиг. 1 (б). Область максимального поглощения совпадает с передней частью основного спиралевидного массива сгустка, а интерференционная картина (c) иллюстрирует интенсивное периодическое перемещение отражающих границ плазмы, которые промодулированы более в. ч. колебаниями. При изменении полярности напряжения на источнике вид СФР-грамм не изменился. Авторы предполагают, что обнаруженный вид неустойчивости, согласно (3), носит желобковый характер. Считая радиальную скорость движения плазменного фронта при пинчевании разряда [4] порядка  $6 \div 8 \cdot 10^6 \text{ см/сек}$  (продольная скорость, измеренная экспериментально, оказалась  $\sim 10^7 \text{ см/сек}$ ), можно определить инкремент развития желобковой неустойчивости

$$v \sim \sqrt{\frac{a}{\lambda}} \sim \sqrt{\frac{v}{\alpha T \lambda}} \sim 4 \cdot 10^6 \text{ см}^{-1}$$

Здесь  $a$  — ускорение плазменного фронта,  $\lambda$  — длина волны возмущения  $\sim 0,5 \text{ см}$ ,  $\alpha T \sim 1 \text{ мксек}$  — время появления особенности на кривой тока [4]. Отсюда видно, что за время протекания тока ( $6 \div 8 \text{ мксек}$ ) возможно образование желоба с последующим его вращением и выталкиванием при кумуляции из источника в трубу.

Далее можно предположить, что из-за неравномерной скорости перемещения фронта ударной волны к центру источника сначала происходит кумуляция ее вблизи малого основания конуса — вследствие чего и появляется передняя, четко светящаяся, часть сгустка. Токовый слой вряд ли сохраняет при своем движении аксиальную симметрию, а возникающий желоб может ее существенно нарушить, поэтому оказывается возможным появление продольной компоненты магнитного поля (вдоль высоты конуса), которая и вызывает вращение желоба.

Скорость вращения можно оценить из работы [5]

$$v_{\parallel} = \frac{CE}{H_{\parallel}} \approx \frac{cm v_{\perp}^2}{e \lambda H_{\parallel}} \sim 2 \cdot 10^6 \frac{\text{см}}{\text{сек}}$$

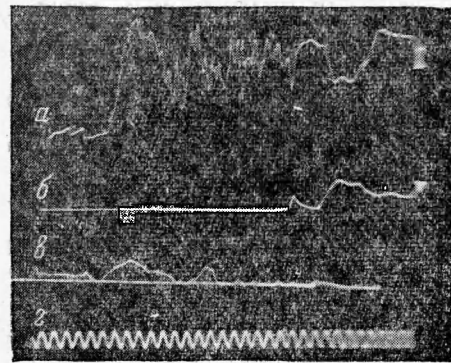
Здесь  $m$ ,  $v_{\perp}$  — масса и поперечная скорость ионов сгустка.

Наклон спирали на СФР-грамме фиг. 1 (a) хорошо подтверждает эту оценку.

В последующих экспериментах было обнаружено, что развитие неустойчивости подобного типа приводит к заметным потерям в сгустке при его движении вдоль трубы. Так при напряжении на источнике  $U_c = 4 \text{ кв}$  сгусток с плотностью  $n > 10^{15} \text{ см}^{-3}$  и временной протяженностью  $\sim 60 \text{ мксек}$  вблизи источника на расстоянии  $\sim 100 \text{ см}$  практически полностью разваливается и исчезает. Расчет показывает, что никакими обычными механизмами потерь (радиальная диффузия, трение о стенки и т. д.) указанный выше результат не может быть объяснен. В дальнейших экспериментах было использовано ведущее магнитное поле вдоль направления движения сгустка; его величина была  $\sim 5 \text{ кэрст}$  и длительность  $\sim 5 \text{ мсек}$ . (Так как конический источник имел толщину стенок большую толщины склинсоля, магнитное поле не проникало внутрь него). В этом случае было обнаружено значительное уменьшение потерь плазмы, хотя СФР-граммы, полученные в магнитном поле, по-прежнему указывают на спиралевидную структуру сгустка.

Плазменный сгусток при своем движении давал диамагнитный сигнал, при помощи которого была оценена его проводимость ( $\sigma \approx 3 \cdot 10^{14} \text{ CGSE}$ ).

Описанные выше опыты, по-видимому, позволяют утверждать, что для получения



Фиг. 2

плазменных сгустков с оптимальными параметрами неустойчивость, возникающая в сгустках, существенно осложняет не только транспортировку, но и ввод их в различные системы магнитных ловушек.

Авторы весьма признательны С. С. Моисееву, В. Н. Ораевскому и Р. З. Сагдееву за плодотворное обсуждение полученных результатов.

Поступила 26 VIII 1963

#### ЛИТЕРАТУРА

1. Philip J. Hart. Plasma Acceleration with Coaxial Elektrodes. *Phys. Fluids*, 1962, vol. 5, No. 1, 38.
2. Josephson V. and Hales R. W. Parametric Study of the Conical Shock Tube. *Phys. Fluids*, 1961, vol. 4, No. 3, 373.
3. Морозов А. И. и Соловьев Л. С. Об ускорении плазмы в коаксиале. *Ж. техн. физ.*, 1960, т. XXX, 1104.
4. Борзунов Н. А., Орлинский Д. В., Осовец С. Я. Исследование мощного импульсного разряда в конических камерах. *Ж. эксперим. и теор. физ.*, 1961, т. 36, 717.
5. Веденов А., Велихов Е., Сагдеев Р. Устойчивость плазмы. *Усп. физ. наук*, 1961, т. 73, 701.

#### ПРИЭЛЕКТРОДНЫЕ СЛОИ ИЗМЕНЕНИЯ ПОТЕНЦИАЛА ПРИ ПРОПУСКАНИИ СЛАБОГО ТОКА ЧЕРЕЗ ИОНИЗОВАННЫЙ ГАЗ

Г. А. Любимов  
(Москва)

В ряде работ (см., например, [1, 2]) для измерения электропроводности ионизованного газа используется «электродный» метод. При этом к электродам, граничащим с газом, подводится некоторая разность потенциалов и по наклону вольт-амперной характеристики в начале координат определяют среднее сопротивление газового промежутка.

Экспериментально обнаружено [1, 2], что при малых токах (малых приложенных напряжениях) вольт-амперная характеристика имеет прямолинейный участок. При увеличении плотности тока (возрастании прикладываемой разности потенциалов) вольт-амперная характеристика становится существенно нелинейной и наступает режим «насыщения», т. е. режим, при котором плотность тока почти не изменяется при увеличении разности потенциалов на электродах.

В работе [1] указывается, что экспериментально полученная величина тока насыщения хорошо согласуется с предельным значением плотности тока, определяемым соотношением [1]

$$j^* = j_+ + j_s = \frac{n_i e}{2.99 \cdot 10^9} \left( \frac{kT}{2\pi m_i} \right)^{1/2} + AT^2 \exp \left\{ - \frac{e\Phi}{kT} \right\} \quad (1)$$

Здесь  $j_+$  — плотность тока положительных ионов через некоторую поверхность при условии максвелловского распределения скоростей ионов,  $j_s$  — плотность эмиссионного тока электронов с поверхности электрода, зависящая от температуры электрода  $T$  и работы выхода материала электрода  $\Phi$ .

В экспериментах [1] использовались цилиндрические электроды, поэтому начальный участок вольт-амперной характеристики определяется соотношением [1]

$$V = \left( \frac{100}{2\pi l} \frac{1}{\sigma} \ln \frac{r_2}{r_1} + R' \right) I = rI \quad (2)$$

Здесь  $r_1, r_2$  — радиусы внутреннего и внешнего электрода,  $l$  — длина электрода,  $I, V$  — полный ток и приложенная разность потенциалов,  $R'$  — сопротивление подводящих проводов.

В работе [1] не указывается, каким образом начальный участок вольт-амперной характеристики (2) переходит в конечный участок (1) и в силу каких физических соображений величина токов насыщения определяется соотношением (1). На фиг. 1 приведены экспериментальные точки и прямая  $j = j^*$  (прямая 1), взятые из [1]. Отметим, что в [1] приводятся два различных значения для работы выхода графита, использованного в качестве материала электродов:  $\Phi_1 = 3.93$  в и  $\Phi_2 = 4.01$  в. Прямая 1 на фиг. 1 взята из работы [1] и соответствует  $\Phi = \Phi_1$ . Отметим также, что приведенные на фиг. 1 экспериментальные точки получены для пропаново-кислородной смеси с добавкой 0.1% калия при температуре пламени  $T = 2100^\circ$  и давлении 1 атм.

В работе [2] приведен качественный вид вольт-амперной характеристики, полученной в результате обработки экспериментов, аналогичных работе [1]. Характерно, что на вольт-амперной характеристике [2] отсутствует участок токов насыщения. Если